



Inducción experimental transplacentaria y neonatal de tumores nerviosos a ratas Wistar con etilnitrosourea

Teresa Ribalta Farrés

ADVERTIMENT. La consulta d'aquesta tesi queda condicionada a l'acceptació de les següents condicions d'ús: La difusió d'aquesta tesi per mitjà del servei TDX (www.tesisenxarxa.net) ha estat autoritzada pels titulars dels drets de propietat intel·lectual únicament per a usos privats emmarcarts en activitats d'investigació i docència. No s'autoriza la seva reproducció amb finalitats de lucre ni la seva difusió i posada a disposició des d'un lloc aliè al servei TDX. No s'autoritza la presentació del seu contingut en una finestra o marc aliè a TDX (framing). Aquesta reserva de drets afecta tant al resum de presentació de la tesi com als seus continguts. En la utilització o cita de parts de la tesi és obligat indicar el nom de la persona autora.

ADVERTENCIA. La consulta de esta tesis queda condicionada a la aceptación de las siguientes condiciones de uso: La difusión de esta tesis por medio del servicio TDR (www.tesisenred.net) ha sido autorizada por los titulares de los derechos de propiedad intelectual únicamente para usos privados enmarcados en actividades de investigación y docencia. No se autoriza su reproducción con finalidades de lucro ni su difusión y puesta a disposición desde un sitio ajeno al servicio TDR. No se autoriza la presentación de su contenido en una ventana o marco ajeno a TDR (framing). Esta reserva de derechos afecta tanto al resumen de presentación de la tesis como a sus contenidos. En la utilización o cita de partes de la tesis es obligado indicar el nombre de la persona autora.

WARNING. On having consulted this thesis you're accepting the following use conditions: Spreading this thesis by the TDX (www.tesisenxarxa.net) service has been authorized by the titular of the intellectual property rights only for private uses placed in investigation and teaching activities. Reproduction with lucrative aims is not authorized neither its spreading and availability from a site foreign to the TDX service. Introducing its content in a window or frame foreign to the TDX service is not authorized (framing). This rights affect to the presentation summary of the thesis as well as to its contents. In the using or citation of parts of the thesis it's obliged to indicate the name of the author.

R. 194.504

INDUCCION TRANSPLACENTARIA Y NEONATAL
DE TUMORES NERVIOSOS EN RATAS WISTAR
CON ETILNITROSOUREA

TESIS DOCTORAL

TERESA M. RIBALTA FARRES

DIRECTOR: PROF. DR. A. CARDESA

FACULTAD DE MEDICINA

UNIVERSIDAD DE BARCELONA

JULIO 1985

T A B L A S

TABLA I: CLASIFICACION DE LOS T.N. SEGUN BAILEY Y CUSHING (1926)

* Meduloepitelioma	Astroblastoma
Meduloblastoma	Astrocitoma
* Pineoblastoma	Oligodendroglioma
Pineocitoma	* Neuroblastoma
* Ependimoblastoma	Ganglioneuroma
Ependimocitoma	Papiloma plexos coroideos
Neuroepitelioma	
Espongioblastoma	
(Glioblastoma)	

(* Entidades eliminadas por los autores en 1927)

(Esta clasificación no incluye a los tumores nerviosos periféricos).

TABLA II: CLASIFICACION DE LOS T.N. SEGUN DEL RIO-HORTEGA (1934)**Tumores del parénquima nervioso:**

- Estirpe neurológica

Oligodendrocitoma

Astroblastoma

Astrocitoma

Glioepitelioma

- Estirpe nerviosa

Neuroblastoma

Neurocitoma

Tumores de los nervios

- Glioma del nervio óptico

- Neurinoma

- Neurofibroma

- Neuroma plexiforme

- Neuroma fasciculado

Tumores de estirpe simpática

- Simpatogonioma, simpatoblastoma, simpatocitoma

Tumores de las cubiertas encefalomedulares (varios)**Tumores hipofisarios (varios)****Tumores de los órganos anejos al cerebro (varios)**

TABLA III : CLASIFICACION DE LOS T.N. SEGUN KERNOHAN (1949)

(Términos antiguos en paréntesis)

Astrocitoma	Grado I (Astrocitoma)
	Grado II (Astroblastoma)
	Grado III (Astrocitoma polar) *
	Grado IV (Glioblastoma multiforme)
Ependimoma	Grado I (Ependimoma)
	Grado II (Ependimoblastoma)
	Grado III (Neuroepiteliooma) *
	Grado IV (Medulopeptelioma)
Oligodendrogloma	
	Grado I (Oligodendrogloma)
	Grado II-IV (Oligodendroblastoma)
Neuroastrocitoma	
	Grado I (Neurocitoma, gangliocitoma, ganglioneuroma y ganglioglioma)
	Grado II (Neuroblastoma)
	Grado III-IV (Glioneuroblastoma) y otros
Meduloblastoma	

* Entidades descartadas por el autor. El glioblastoma multiforme incluye los grados III y IV del grupo de astrocitomas.

(Esta clasificación no incluye a los tumores nerviosos periféricos).

TABLA IV: CLASIFICACION DE LOS T.N. SEGUN RUSSELL Y RUBINSTEIN (1977)**Tumores de la serie glial****Grupo astrocitario**

Astrocitoma

Astroblastoma

Espongioblastoma polar

Oligodendroglia

Oligodendroglioma

Ependimo y sus homólogos

Ependimoma. Subependimoma

Papiloma plexos coroideos

Quiste "coloide"

Glioblastoma multiforme**Tumores del parénquima pineal**

Pineoblastoma

Pineocitoma

Tumores de la retina (epitelio primitivo)

Retinoblastoma

Tumores de la serie neuronal

Meduloblastoma

Meduloeptelioma

Neuroblastoma

Ganglioneuroma y ganglioglioma

(Esta clasificación no incluye a los tumores nerviosos periféricos).

TABLA V. PLANIFICACION DEL ESTUDIO EXPERIMENTAL

GRUPOS EXPERIMENTALES.	ADMINISTRA-CION.	Nº ANIMALES	SEXO V/H
GRUPO I	Día 15 a las madres	180	95/85
GRUPO II	Día 21 a las madres	171	93/78
GRUPO III	A las 24 h. del nacim., a las crías	154	79/75
GRUPO IV	—	156	80/76
TOTAL DESCENDIENTES		661	347/314

TABLA VI. INCIDENCIA TUMORAL EN LAS RATAS WISTAR, NACIDAS DE MADRES TRATADAS CON 15 MG/KG P.C. DE E.N.U. EN EL DIA 15 Y 21 DE LA GESTACION, O QUE RECIBIERON LA MISMA DOSIS TRAS EL NACIMIENTO.

GRUPOS EXPERIMENT.	PROGENIE EFECTIVA	SOBREVIV. MEDIA EN SEMANAS	ANIMALES CON TUM. NERV. (%)	TOTAL DE TUM. NERV.	ANIMALES CON TUMORES EN SNC* (%)		ANIMALES CON TUMORES EN SNP** (%)		ANIMALES CON SARCOMAS INCLASIFICABLES (%)		ANIMALES CON NEFROBLASTOMAS (%)	
						SNC*		SNC*		SNP**		SNP**
GRUPO I												
♂	95	53,5	89 (93,68)	117	66 (69,47)	39 (41,05)	2 (2,10)	4 (4,21)				
♀	85	53,5	66 (77,64)	80	49 (57,64)	25 (29,41)	-	1 (1,17)				
TOTAL	180	53,5	155 (86,11)	197	115 (63,88)	64 (35,55)	2 (1,11)	5 (2,77)				
GRUPO II												
♂	93	54,5	82 (88,17)	125	42 (45,16)	79 (84,94)	2 (2,15)	-				
♀	79	58,5	74 (93,67)	98	36 (45,56)	51 (64,55)	3 (3,79)	1 (1,26)				
TOTAL	172	56,5	156 (90,69)	223	78 (45,34)	130 (75,58)	5 (2,90)	1 (0,58)				
GRUPO III												
♂	81	56,5	74 (91,35)	99	36 (44,44)	54 (66,66)	-	-				
♀	76	56,5	66 (86,84)	89	40 (52,63)	34 (44,73)	3 (3,94)	-				
TOTAL	157	56,5	140 (89,17)	188	-	76 (48,40)	88 (56,05)	3 (1,91)				
GRUPO IV												
♂	78	94	-	-	-	-	-	-				
♀	78	94	-	-	-	-	-	-				
TOTAL	156	94	-	-	-	-	-	-				
Total ♂ exp.	269	245 (91,07)	341	144 (53,53)	172 (63,94)	4 (1,48)	4 (1,48)					
Total ♀ exp.	240	206 (85,83)	267	125 (52,08)	110 (45,83)	6 (2,50)	2 (0,83)					
Total anim.	509	451 (88,60)	608	269 (52,84)	282 (55,40)	10 (1,96)	6 (1,17)					
exper.												

* SNC: Sistema nervioso central y meninges.

** SNP: Tumores en nervios periféricos, incluidos los pares craneales.

TABLA VII : TIPOS HISTOLÓGICOS DE LOS TUMORES NERVIOSOS CENTRALES Y PERIFÉRICOS

GRUPOS EXPERIMENTALES	NUMERO ANIMALES	GLIOMAS Animales (%)	SNC *	OTROS TUMORES SNC		TUMORES MALIGNOS VAINAS NERVIOSAS Animales (%)	SARCOMAS TEJIDOS PERIFER., INCLASIF. Animales (%)
				Animales (%)	Animales (%)		
GRUPO I							
♂	95	65 (68,42)		1 (1,05)		39 (41,05)	2 (2,10)
♀	85	47 (55,29)		1 (1,17)		25 (29,41)	-
TOTAL	180	112 (62,22)		2 (1,11)		64 (35,55)	2 (2,11)
GRUPO II							
♂	93	40 (43,01)		1 (1,07)		79 (84,94)	2 (2,15)
♀	79	35 (44,30)		2 (2,53)		51 (64,55)	3 (3,79)
TOTAL	172	75 (43,60)		3 (1,74)		130 (75,58)	5 (2,90)
GRUPO III							
♂	81	33 (40,74)		-		54 (66,66)	-
♀	76	38 (50,00)		2 (2,63)		34 (44,73)	3 (3,94)
TOTAL	157	71 (45,22)		2 (1,27)		88 (56,05)	3 (1,91)
Total ♂ exp.	269	138 (51,30)		2 (0,74)		172 (63,94)	4 (1,48)
Total ♀ exp	240	120 (50,00)		5 (2,08)		110 (45,83)	6 (2,50)
Total anim. exp.	509	258 (50,68)		7 (1,37)		282 (55,40)	10 (1,96)

* Excepto tumores meníngeos

TABLA VIII. DISTRIBUCION ANATOMICA DE LOS TUMORES DEL SISTEMA NERVIOSO CENTRAL (SNC)

GRUPOS EXPERIMENTALES	NUMERO ANIMALES	ANIMALES CON TUMOR EN SNC*		GLIOMAS ENCEFALO ANIMALES (%)		GLIOMAS MEDULA ANIMALES (%)		TUMORES MENINGEOS ANIMALES (%)	
		ANIMALES (%)	ANIMALES (%)	ANIMALES (%)	ANIMALES (%)	ANIMALES (%)	ANIMALES (%)	ANIMALES (%)	ANIMALES (%)
GRUPO I									
♂	95	66 (69,47)	65 (68,42)	56 (58,94)	9 (9,47)	1 (1,05)			
♀	85	49 (57,64)	47 (55,29)	44 (51,76)	3 (3,52)	2 (2,35)			
TOTAL	180	115 (63,88)	112 (62,22)	100 (55,55)	12 (6,66)	3 (1,66)			
GRUPO II									
♂	93	42 (45,16)	40 (43,01)	31 (33,33)	9 (9,67)	2 (2,15)			
♀	79	36 (45,56)	35 (44,30)	27 (34,17)	8 (10,12)	1 (1,26)			
TOTAL	172	78 (45,34)	75 (43,60)	58 (33,72)	17 (9,88)	3 (1,74)			
GRUPO III									
♂	81	36 (44,44)	33 (40,74)	23 (28,39)	10 (12,34)	3 (3,70)			
♀	76	40 (52,63)	38 (50,00)	28 (36,84)	10 (13,15)	2 (2,63)			
TOTAL	157	76 (48,40)	71 (45,22)	51 (32,48)	20 (12,73)	5 (3,18)			
Total ♂ exp.	269	144 (53,53)	138 (51,30)	110 (40,89)	28 (10,40)	6 (2,23)			
Total ♀ exp.	240	125 (52,08)	120 (50,00)	99 (41,25)	21 (8,75)	5 (2,08)			
Total animales experim.	509	269 (52,84)	258 (50,68)	209 (41,06)	49 (9,62)	11 (2,16)			

* SNC: Tumores en sistema nervioso central y meninges.

TABLA IX. DISTRIBUCION ANATOMICA DE LOS TUMORES DEL SISTEMA NERVIOSO PERIFERICO (SNP)

GRUPOS EXPERIMENTALES	NUMERO ANIMALES	ANIMALES CON TUMOR SNP* ANIMALES (%)		ANIMALES CON TUMOR N. TRIGEM Y SUS RAMAS ANIMALES (%)		ANIMALES CON TUMOR N. ESPINALES ANIMALES (%)		ANIMALES CON TUMORES NERV. VICERALES ANIMALES (%)		ANIMALES CON TEJIDOS BLANDOS ANIMALES (%)	
		ANIMALES CON TUMOR SNP* ANIMALES (%)	ANIMALES CON TUMOR N. TRIGEM Y SUS RAMAS ANIMALES (%)	ANIMALES CON TUMOR N. ESPINALES ANIMALES (%)	ANIMALES CON TUMORES NERV. VICERALES ANIMALES (%)	ANIMALES CON TEJIDOS BLANDOS ANIMALES (%)	ANIMALES CON TUMORES NERV. VICERALES ANIMALES (%)	ANIMALES CON TEJIDOS BLANDOS ANIMALES (%)	ANIMALES CON TUMORES NERV. VICERALES ANIMALES (%)	ANIMALES CON TEJIDOS BLANDOS ANIMALES (%)	ANIMALES CON TEJIDOS BLANDOS ANIMALES (%)
GRUPO I											
♂	95	39 (41,05)	17 (17,89)	17 (17,89)	1 (1,05)	1 (1,05)	4 (4,21)				
♀	85	25 (29,41)	12 (14,11)	10 (11,76)	-	-	3 (3,52)				
TOTAL	180	64 (35,55)	29 (16,11)	27 (15,00)	1 (0,55)	7 (3,88)					
GRUPO II											
♂	93	79 (84,94)	36 (38,70)	37 (39,78)	1 (1,07)	1 (1,07)	6 (6,45)				
♀	79	51 (64,55)	21 (26,58)	26 (32,91)	3 (3,79)	3 (3,79)	5 (6,32)				
TOTAL	172	130 (75,58)	57 (33,13)	63 (36,62)	4 (2,32)	11 (6,39)					
GRUPO III											
♂	81	54 (66,66)	24 (29,62)	24 (29,62)	1 (1,23)	1 (1,23)	4 (4,93)				
♀	76	34 (44,73)	17 (22,36)	16 (21,05)	2 (2,63)	2 (2,63)	2 (2,63)				
TOTAL	157	88 (56,05)	41 (26,11)	40 (25,47)	3 (1,91)	3 (1,91)	6 (3,82)				
Total ♂ exp.	269	172 (63,94)	77 (28,62)	78 (28,99)	3 (1,11)	3 (1,11)	14 (5,20)				
Total ♀ exp.	240	110 (45,83)	50 (20,83)	52 (21,66)	5 (2,08)	5 (2,08)	10 (4,16)				
Total animales experim.	509	282 (55,40)	127 (24,95)	130 (25,54)	6 (1,57)	6 (1,57)	24 (4,71)				

* SNP: Tumores en sistema nervioso periférico, incluidos los pares craneales.

TABLA X . DISTRIBUCION DE LAS ESTRUCTURAS PLEXIFORMES EN LOS DISTINTOS TUMORES MALIGNOS DE VAINAS NERVIOSAS PERIFERICAS (TNP)

GRUPOS EXPERIM.	NUMERO ANIMALES	ANIMALES CON T.V.N.P. ANIMALES (%)	TOTAL T.V.N.P. CON EST.PLEXIF. ANIMALES (%)	T.V.N.P. NERV. TRIGEM. CON EST. PLEXIF. ANIMALES (%)			T.V.N.P. RAMAS ESPINALES CON EST.PLEXIF. ANIMALES (%)			T.V.N.P. TEJIDOS PERIFERICOS CON EST.PLEXIF. ANIMALES (%)		
				ANIMALES CON T.V.N.P. ANIMALES (%)	TOTAL T.V.N.P. CON EST.PLEXIF. ANIMALES (%)	ANIMALES (%)	ANIMALES (%)	TOTAL T.V.N.P. CON EST.PLEXIF. ANIMALES (%)	ANIMALES (%)	ANIMALES (%)	TOTAL T.V.N.P. CON EST.PLEXIF. ANIMALES (%)	ANIMALES (%)
GRUPO I												
♂	95	39 (41,06)	14 (35,89)	10 (25,64)	-	-	3 (7,69)	1 (2,56)	-	-	-	-
♀	85	25 (29,41)	5 (20,00)	2 (8,00)	2 (8,00)	1 (9,09)	1 (4,00)	-	-	-	-	-
TOTAL	180	64 (35,55)	19 (29,68)	12 (18,75)	2 (3,12)	2 (3,12)	4 (6,25)	1 (1,56)	4 (6,25)	7 (5,38)	1 (1,56)	1 (1,56)
GRUPO II												
♂	93	79 (84,94)	16 (20,25)	8 (10,12)	4 (5,06)	4 (5,06)	4 (5,06)	-	-	-	-	-
♀	79	51 (64,55)	11 (21,56)	7 (13,72)	1 (9,09)	1 (9,09)	3 (5,88)	-	-	-	-	-
TOTAL	172	130 (75,58)	27 (20,76)	15 (11,53)	5 (3,84)	5 (3,84)	7 (5,38)	-	-	-	-	-
GRUPO III												
♂	81	54 (66,66)	7 (12,96)	4 (7,40)	1 (1,85)	1 (1,85)	2 (3,70)	-	-	-	-	-
♀	76	34 (44,73)	7 (20,58)	4 (11,76)	1 (2,94)	1 (2,94)	2 (5,88)	-	-	-	-	-
TOTAL	157	88 (56,05)	14 (15,90)	8 (9,09)	2 (2,27)	2 (2,27)	4 (4,54)	-	-	-	-	-
MADRES												
Grupo I	20	2 (10,00)	1 (50,00)	-	-	-	-	-	-	-	-	1 (50,00)
Grupo II	20	-	-	-	-	-	-	-	-	-	-	1 (50,00)
TOTAL	40	2 (5,00)	1 (50,00)	-	-	-	-	-	-	-	-	1 (50,00)
Total ♂ exp.	269	172 (63,94)	37 (21,51)	22 (12,79)	5 (2,90)	5 (2,90)	9 (5,23)	1 (1,38)	-	-	-	-
Total ♀ exp.	240	110 (45,83)	23 (20,90)	13 (11,81)	4 (3,63)	4 (3,63)	6 (5,45)	-	-	-	-	-
Total madres	40	2 (5,00)	1 (50,00)	-	-	-	-	-	-	-	-	1 (50,00)
Total animales exp.	549	284 (51,73)	61 (21,47)	35 (12,32)	9 (3,16)	9 (3,16)	15 (5,28)	2 (0,70)	-	-	-	-
(incluidas madres)												

TABLA XI: MULTIPLICIDAD DE TUMORES NERVIOSOS

GRUPOS EXPRES.	NUMERO ANIMALES	ANIMALES CON TUMORES NERVIOSOS ANIMALES (%)*	ANIMALES CON MAS DE UN TUMOR NERVIOSO			ANIMALES CON TUMORES MULTIPLES SNC + SNP			ANIMALES CON TUMORES MULTIPLES ANIMALES (%)*		
			TUMORES NERVIOSOS ANIMALES (%)*	TUMORES MULTIPLES ANIMALES (%)*	TUMORES MULTIPLES ANIMALES (%)*	TUMORES MULTIPLES ANIMALES (%)*	TUMORES MULTIPLES ANIMALES (%)*	TUMORES MULTIPLES ANIMALES (%)*	TUMORES MULTIPLES ANIMALES (%)*	TUMORES MULTIPLES ANIMALES (%)*	
GRUPO I											
♂	95	89 (93,68)	117	16 (16,84)	5 (5,26)	1	(1,05)	14 (14,73)			
♀	85	66 (77,64)	80	9 (10,58)	6 (7,05)	2	(2,35)	9 (10,58)			
TOTAL	180	155 (86,11)	197	25 (13,88)	11 (6,11)	3	(1,66)	23 (12,77)			
GRUPO II											
♂	93	82 (88,17)	125	33 (35,48)	3 (3,22)	10	(10,75)	23 (24,73)			
♀	79	74 (93,67)	98	19 (24,05)	6 (7,59)	5	(6,32)	13 (16,45)			
TOTAL	172	156 (90,69)	223	52 (30,23)	9 (5,23)	15	(8,72)	36 (20,93)			
GRUPO III											
♂	81	74 (91,35)	99	18 (22,22)	6 (7,40)	4	(4,93)	12 (14,81)			
♀	76	66 (86,84)	89	13 (17,10)	8 (10,52)	1	(1,31)	8 (10,52)			
TOTAL	157	140 (89,17)	188	31 (19,74)	14 (8,91)	5	(3,18)	20 (12,73)			
Total ♂ exp.	269	245 (91,07)	341	67 (24,90)	14 (5,20)	15	(5,57)	49 (18,21)			
Total ♀ exp.	240	206 (85,83)	267	41 (17,08)	20 (8,33)	8	(3,33)	30 (12,50)			
Total animales	509	451 (88,60)	608	108 (21,21)	34 (6,67)	23	(4,51)	79 (15,52)			
experiment.											

* Porcentajes calculados respecto al número efectivo de animales.

TABLA XII: TUMORES DE WILMS (NEFROBLASTOMAS).

GRUPOS EXPERIM.	ANIMAL	SEXO	SOBREVIVENCIA EN SEMANAS	LADO	ASPECTO MACROSCOPICO	TUMORES ASOCIADOS	
						ASPECTO MICROSCOPICO	
GRUPO I	R-90/83	H	27	I	Nódulo redondeado de 0,3 cm de diámetro, blanco, en región córtico-medular superficial. Peso: 4,27 gr	Tumor fusocelular con escasas mitosis. Formaciones tubulares	2 Gliomas cerebro 1 TVNP cola caballo
GRUPO I	R-181/83	H	23	I	Nódulo redondeado de 0,5 cm de diámetro, blanco, cortical superficial. Peso: 4 gr	Tumor fusocelular con elevado índice mitótico. Formaciones tubulares y gloméruloides.	1 TVNP cola caballo
GRUPO I	R-200/83	H	34	D	Gran tumor de 3,5 cm de diámetro que infiltra 90% parénquima renal. Multinodular, blanco, áreas necróticas. Peso: 12,27 gr	Tumor fusocelular con elevado índice mitótico. Estructuras tubulares.	1 TVNP mediastino
GRUPO I	R-449/83	H	42	I	Nódulo triangular de 0,4 cm de diámetro, blanco, superficial. Peso: 3,37 gr	Tumor fusocelular con elevado índice mitótico. Estructuras tubulares y glomeruloides	1 Glioma cerebro
GRUPO I	R-591/83	H	53	D	Gran tumor de 4,5 cm de diámetro que infiltra todo el riñón. Extensas necrosis. Color blanquecino amarillento. Peso: 16,75 gr	Tumor fusocelular con formaciones glomeruloides y tubulares bien constituidas. Elevado índice mitótico.	-
GRUPO II	R-269/83	H	35	D	Gran tumor ovoideo de 3,2 cm de diámetro que infiltra todo el riñón. Color gris translúcido. Formaciones polipoides en cavidad pélvica. Peso: 7,14 gr	Tumor fusocelular hipocelular con estructuras tubulares y glomeruloides. Extensas áreas rhabdomiosarcomatosas.	1 TVNP n.trigémino 1 tumor óseo en mandíbula

TABLA XIII. NÚMERO Y TIPOS HISTOLÓGICOS DE LOS TUMORES EXPERIMENTALES NO NERVIOSOS BENIGNOS Y MALIGNOS

GRUPOS EXPERIMENT.	NÚMERO ANIMALES	ANIMALES CON OTROS TUMORES NO NERVIOSOS ANIMALES (%)	TIPOS HISTOLÓGICOS DE TUMORES NO NERVIOSOS		MALIGNOS
			BENIGNOS	MALIGNOS	
GRUPO I	180	22 (12,22)	Adenoma hipófisis Fibroadenoma mama Fibroma mama Tumores benignos piel	5 7 1 2	Linfoma Carc. papilar mama
					4 1 2
			T O T A L	15	T O T A L
					7
GRUPO II	172	17 (9,88)	Adenoma hipófisis Fibroadenoma mama Fibroma mama	3 2 1	Linfoma Carcinoma mama Carcinoma folicular
					2 2 1
			-		Sarcomas inclasif. Tumor óseo no clasif.
					5 1
			T O T A L	6	T O T A L
					11
GRUPO III	157	19 (12,10)	Adenoma hipófisis Fibroadenoma mama Tumores benignos piel Lipoma renal Pólipo endometrial	1 1 2 1 1	Linfoma Carcinoma gl. saliv. Carcinoma papilar tiroides Carcinoma mama Timoma Sarcoma inclasif.
					4 2 1 2 1 3
			T O T A L	6	T O T A L
					13
TOTAL ANIMALES EXPERIMENT.	509	58 (11,39)	27 (5,30)	31 (6,09)	

TABLA XIV: TUMORES BENIGNOS Y MALIGNOS DESARROLLADOS POR LAS RATAS WISTAR MADRES.

GRUPOS MADRES	NUMERO ANIMALES	TOTAL TUMORES MALIGNOS ANIMALES (%)	T.V.N.P. ANIMALES (%)	SARCOMAS INCLASIFICABLES ANIMALES (%)	OTROS TUMORES Y LESIONES BENIGNAS ANIMALES (%)	OTROS TUMORES Y LESIONES BENIGNAS ANIMALES (%)	
						MALIGNOS ANIMALES (%)	ANIMALES (%)
GRUPO I	20	3 (15,00)	2* (10,00)	-	1 (car.papilar tiroides)	3 adenomas hipof.	3 adenomas hipof.
						3 fibroadenomas	3 fibroadenomas
						1 pólipo endomet.	1 pólipo endomet.
						1 tumor cutáneo	1 tumor cutáneo
GRUPO II	20	6 (30,00)	1 (5,00)	3 (15,00)	2 (carcinoma suprarrenal, linfoma)	2 adenomas hipof.	2 adenomas hipof.
						1 fibroadenoma	1 fibroadenoma
						1 adenoma suprar.	1 adenoma suprar.
						1 cistoadenoma ovárico	1 cistoadenoma ovárico
						1 hiperplasia endom. focal	1 hiperplasia endom. focal
GRUPO III	20	2 (10,00)	-	1 (5,00)	1 (carcinoma esc. boca)	3 adenomas hipof.	3 adenomas hipof.
Total	60	11 (18,33)	3 (5,00)	4 (6,66)	4 (6,66)	1 fibroadenoma mama	1 fibroadenoma mama
						18 (30,00)	18 (30,00)

* Dos T.V.N.P. en un mismo animal, uno en útero y otro en ovario.

TABLA XV: RESUMEN DE LOS NIVELES DE SIGNIFICACION ALCANZADOS EN EL ANALISIS ESTADISTICO DE LAS INCIDENCIAS DE LOS TUMORES NERVIOSOS EXPERIM.

CARACTERES RELACIONADOS	GRADOS LIBERTAD	X ² OBSERVADA	NIVEL SIGNIFICACION
GRUPOS/ TN, no TN (Q) I,II,III	2	16,03	p < 0,001
GRUPOS/ TN, no TN (Q) I,II	1	8,415	p < 0,005
SEXOS/ TN, no TN (I)	1	9,65	p < 0,005
GRUPOS/ TSNC, no TSNC (D) I,II,III	2	28,29	p < 0,001
GRUPOS/ TSNC, no TSNC (D + Q) I,II	1	12,20	p < 0,001
GRUPOS/ TSNC, no TSNC (D) I,II	1	11,36	p < 0,001
GRUPOS/ TSNC, no TSNC (D + Q) I,III	1	8,18	p < 0,005
GRUPOS/ TSNC, no TSNC (D) I,III	1	12,63	p < 0,001
GRUPOS/ TSNP, no TSNP (D) I,II,III	2	39,64	p < 0,001
GRUPOS/ TSNP, no TSNP (Q) I,II,III	2	20,43	p < 0,001
GRUPOS/ TSNP, no TSNP (D + Q) I,II	1	56,95	p < 0,001
GRUPOS/ TSNP, no TSNP (D) I,II	1	38,74	p < 0,001
GRUPOS/TSNP, no TSNP (Q) I,II	1	20,33	p < 0,001

(TABLA XV continuación)

CARACTERES RELACIONADOS	GRADOS LIBERTAD	X ²	OBSERVADA	NIVEL SIGNIFICACION
GRUPOS/ TSNP, no TSNP ($\delta + \varphi$) I, III	1	14,22		p < 0,001
GRUPOS/ TSNP, no TSNP (δ) I, III	1	11,51		p < 0,001
GRUPOS/ TSNP, no TSNP (φ) I, III	1	4,05		p < 0,001
GRUPOS/ TSNP, no TSNP ($\delta + \varphi$) II, III	1	14,0		p < 0,001
GRUPOS/ TSNP, no TSNP (δ) II, III	1	8,03		p < 0,005
GRUPOS/ TSNP, no TSNP (φ) II, III	1	6,14		p < 0,025
SEXOS/ TSNP, no TSNP (I+II+III)	1	16,83		p < 0,001
SEXOS/ TSNP, no TSNP (II)	1	9,62		p < 0,005
SEXOS/ TSNP, no TSNP (III)	1	7,65		p < 0,01
GRUPOS/ EP, no EP ($\delta + \varphi$) I, III	1	4,1		p < 0,05
GRUPOS/ EP, no EP (δ) I, III	1	6,81		p < 0,01
GRUPOS/ GE, no GE ($\delta + \varphi$) I, II	1	4,89		p < 0,05
GRUPOS/ GE, no GE (φ) I, II	1	4,68		p < 0,05
GRUPOS/ GE, no GE ($\delta + \varphi$) I, III	1	9,17		p < 0,005
GRUPOS/ GE, no GE (δ) I, III	1	3,8		p < 0,05
GRUPOS/ GE, no GE (φ) I, III	1	6,44		p < 0,02

F I G U R A S

Y

L E Y E N D A S

Fig. 1:

Tumor nervioso originado en los nervios del "filum terminale". La superficie externa es lisa y brillante, el color es pardo-amarillento con algún foco hemorrágico y la consistencia, muy blanda.

Fig.2:

Varios engrosamientos tumorales incipientes en distintos nervios del "filum terminale".

1



4

5

R-708/83

2



2

3

4

5

R-476/83

Fig.3:

Tumor nervioso originado en una raíz de la región torácica de la médula espinal, que se mantiene adosado a la misma.

Fig.4:

En la pieza superior, se observa una infiltración transvertebral por un tumor nervioso originado en los nervios espinales de la región toraco-lumbar, que se extiende más allá de las vértebras, infiltrando los tejidos blandos perivertebrales. En la pieza inferior, puede apreciarse el voluminoso tamaño alcanzado por la masa tumoral infiltrante, que ocupa el espacio retroperitoneal.

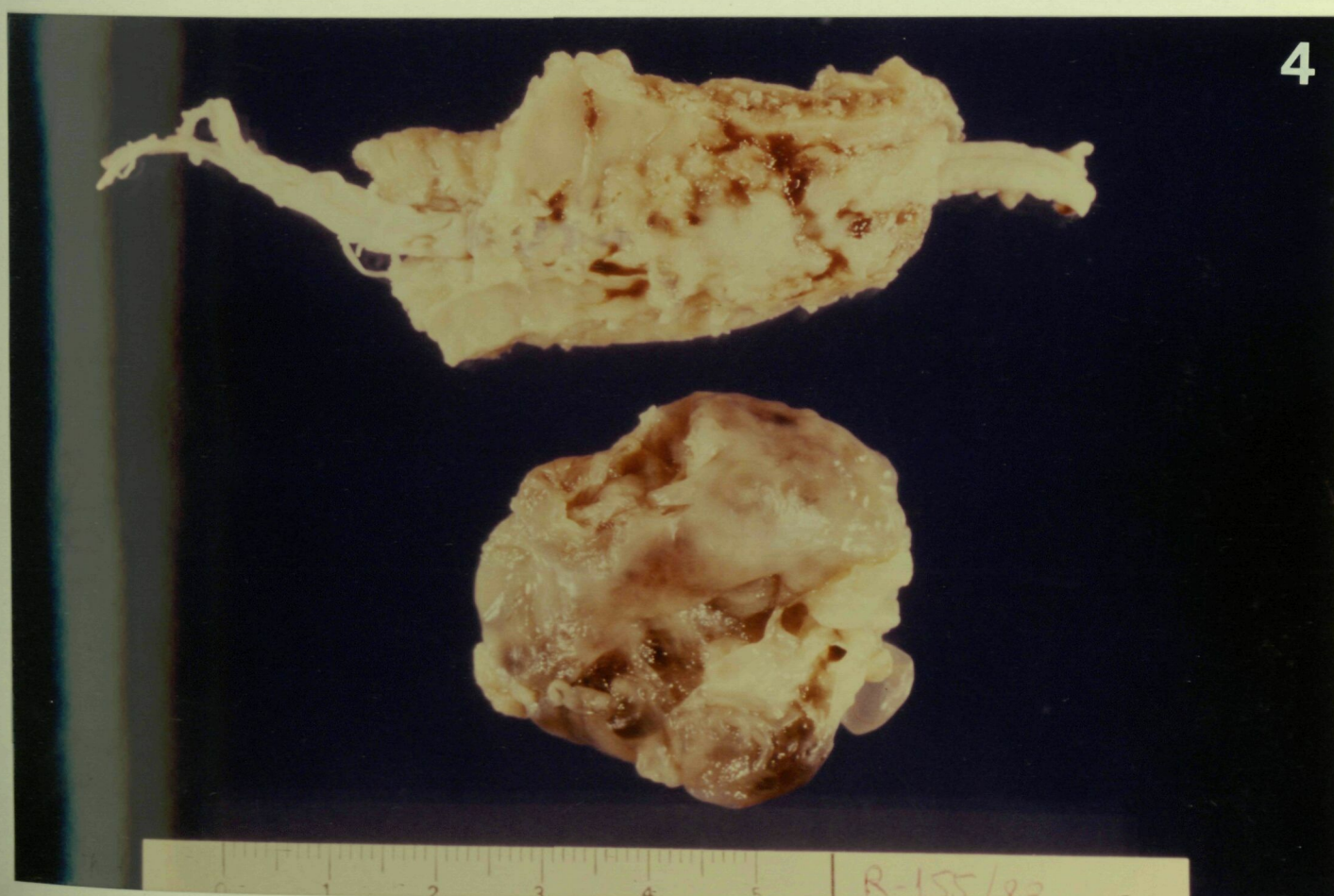
3



0 1 2 3 4 5

R-519/83

4



0 1 2 3 4 5

R-155/83

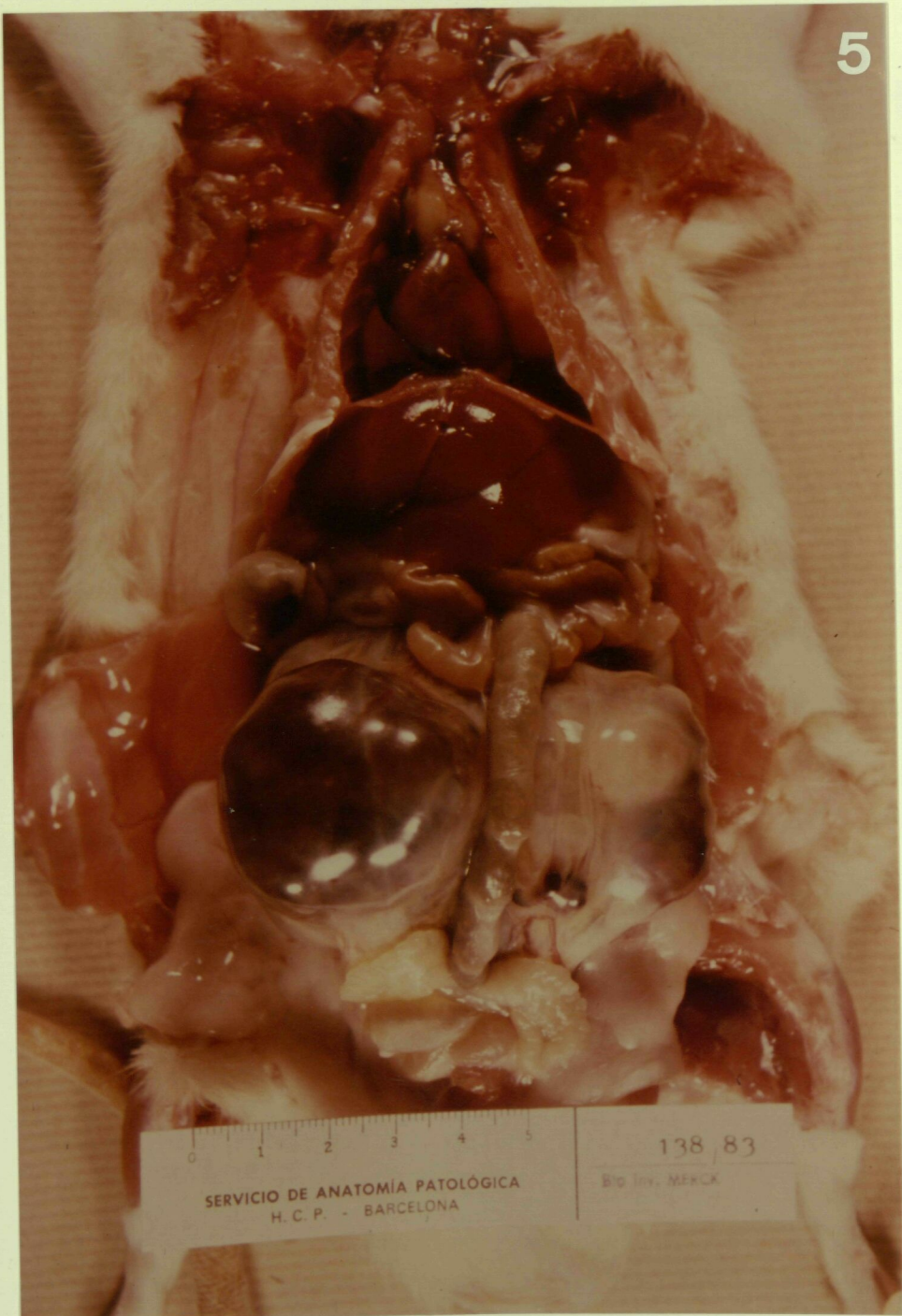
Fig.5:

Afectación masiva del retroperitoneo por una tumoración multilobulada y hemorrágica que desplaza hacia adelante las estructuras de la cavidad abdominal.

Fig.6:

Tumor de la región cervical, en conexión con su origen en la médula espinal.

5



6



Fig.7:

Base del encéfalo. Gran masa tumoral en la raíz del nervio trigémino derecho.

Fig.8:

A la izquierda se observa un tumor extenso que ocupa toda la mitad izquierda de la base del encéfalo, originado en el nervio trigémino del mismo lado. A la derecha, corte transversal de la protuberancia y cerebelo que pasa por el origen del V par craneal, en él que se observa un tumor localizado en el nervio trigémino izquierdo.

7



R-779 122

8



3 4 5

HISTOPATOLÓGICA
BARCELONA

3 4 5

Fig.9:

Tumor del nervio trigémino derecho observado "in situ"
en la base del cráneo después de haber levantado y re-
chazado hacia atrás el encéfalo. Obsérvese que el tumor
se extiende en sentido anterior hacia la órbita del mis
mo lado , produciendo un exoftalmos.

Fig.10:

Imagen clínica del exoftalmos del caso anterior.

9



10



Fig.11:

Imagen de la base del cráneo en la que se observa una
afectación tumoral bilateral de los nervios trigéminos.

Fig.12:

Tumefacción de la región maxilar derecha provocada por
un tumor nervioso de la rama maxilar del nervio trigé-
mino.

11



0 1 2 3 4 5

75 83

Bio Inv. MERCK

SERVICIO DE ANATOMÍA PATOLÓGICA
H.C.P. - BARCELONA

12



1 2 3 4 5

6 83

Bio Inv. MERCK

SERVICIO DE ANATOMÍA PATOLÓGICA
H.C.P. - BARCELONA

Fig.13:

Tumor nervioso periférico originado en el plexo braquial izquierdo.

Fig.14:

Tumoración mediastínica que engloba e infiltra las estructuras vasculares y la grasa de la base cardíaca.

0 1 2 3 4 5

SERVICIO DE ANATOMÍA PATOLÓGICA
H. C. P. - BARCELONA

50 / 83

Bio Inv. MERCK

13



14



1 2 3 4

R-200/83

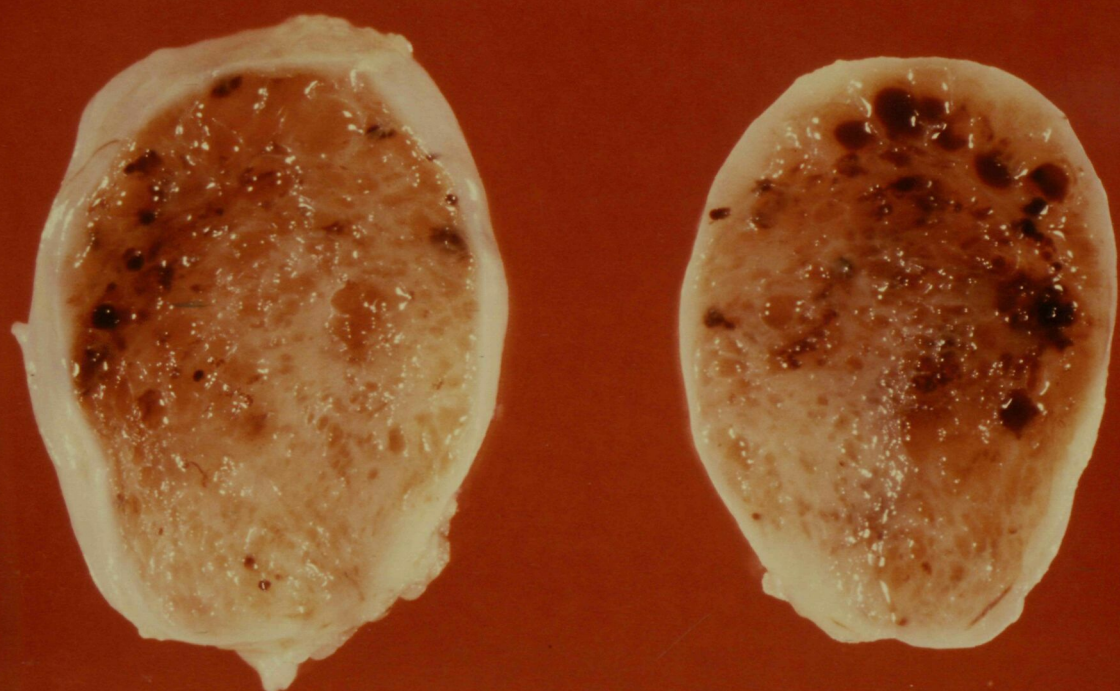
Fig.15:

Superficie de corte de un tumor nervioso periférico sub
cutáneo en el que se aprecian focos de hemorragia y quis
tificación.

Fig.16:

Imagen macro-microscópica del caso anterior.

15



0 1 2 3 4 5

R-101/83

16

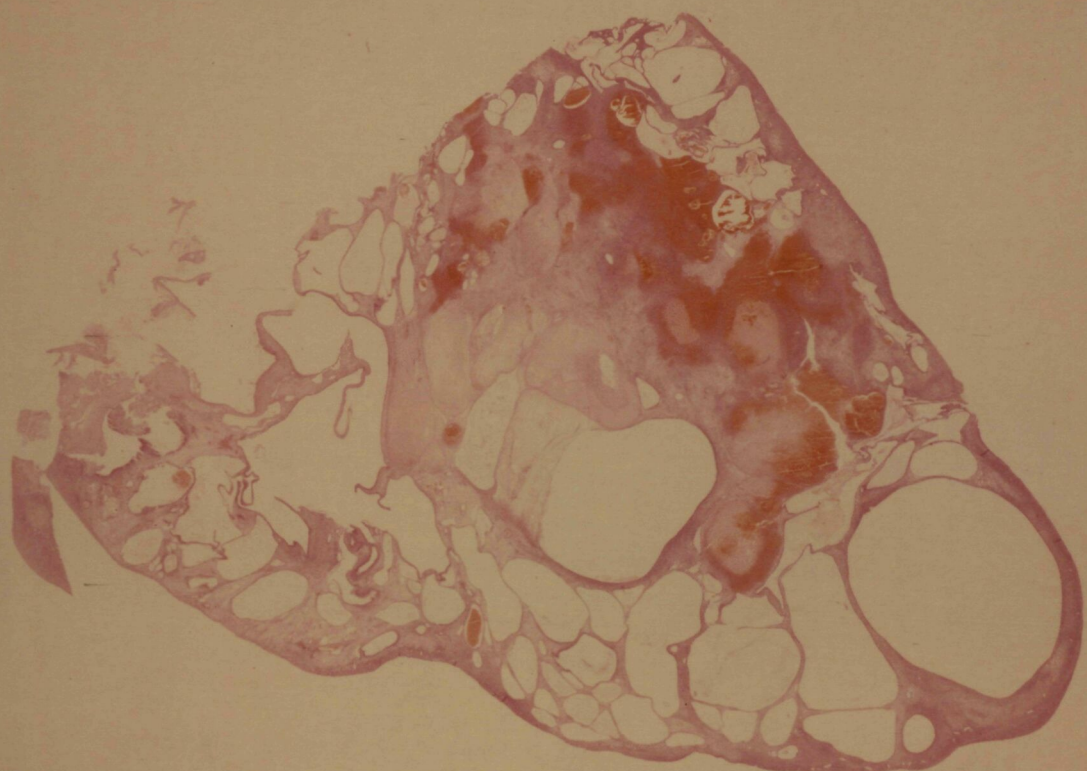


Fig.17:

Gran tumor multilobulado originado en la pared del intestino delgado.

Fig.18:

Imagen de la superficie mucosa gástrica con múltiples engrosamientos nodulares tumorales.

17



18



Fig.19:

Infiltración masiva uterina y vaginal por un tumor maligno que histológicamente corresponde a un sarcoma indiferenciado.

19



3 4 5

R-702/83

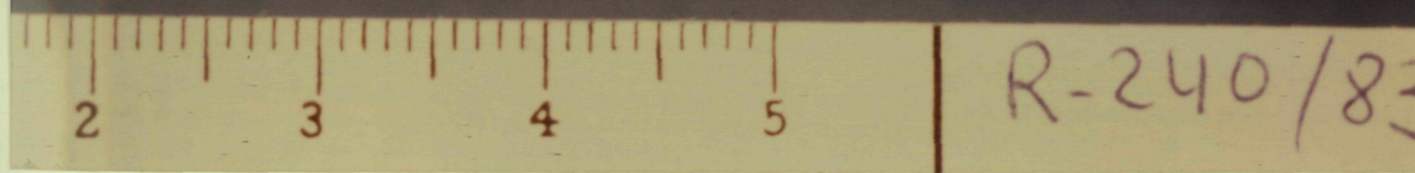
Fig.20:

Tumor intracardíaco blanquecino, de consistencia elástica que afecta al miocardio de los ventrículos derecho e izquierdo predominantemente.

Fig.21:

Engrosamiento meníngeo difuso como consecuencia de la infiltración tumoral por un tumor sarcomatoso de histogénesis incierta.

20



21

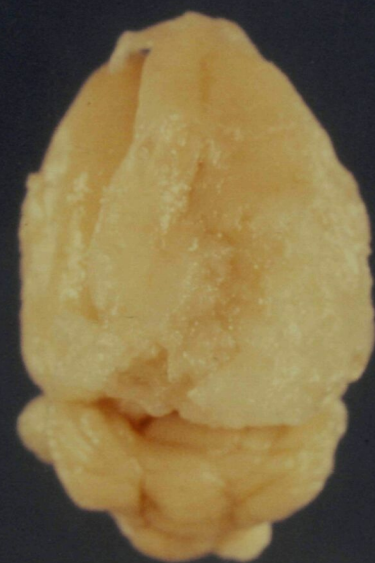


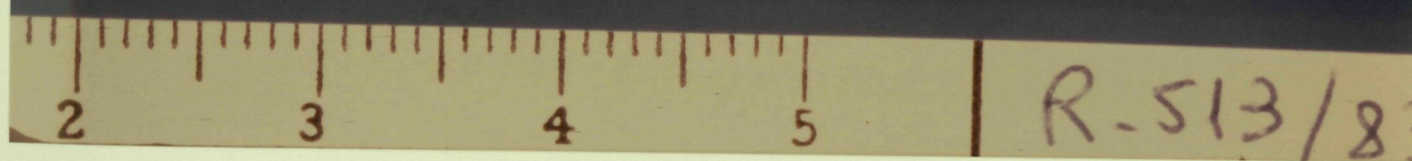
Fig.22:

Tumor redondeado en la línea media de las meninges de la convexidad.

Fig.23:

Mismo caso anterior. Se ha despegado el tumor meningeo y se observa la profunda depresión provocada en el parénquima cerebral subyacente.

22



23



Fig.24:

Tumor cerebral de polo occipital izquierdo que contacta con la superficie cortical.

Fig.25:

Cortes coronales consecutivos del mismo caso anterior.

Se observa la gran extensión del tumor que ocupa ambos hemisferios cerebrales y alcanza hasta los lóbulos frontales. Abundantes cambios quísticos y hemorrágicos, antiguos y recientes.

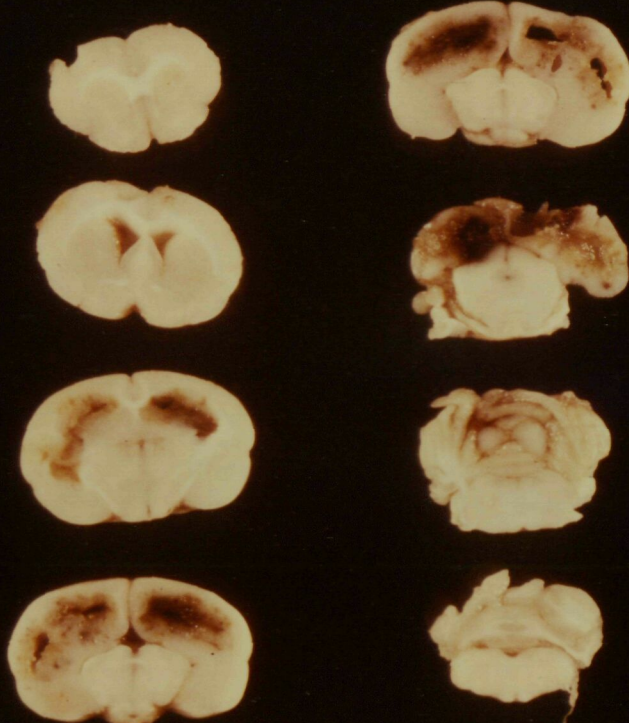
24



1 2 3 4 5

R-194/83

25



0 1 2 3 4 5

R-194/83

Fig.26:

Cortes cerebrales coronales consecutivos, que demuestran la existencia de un tumor cerebral del hemisferio derecho, localizado en el lóbulo parietal con extensión a polo occipital y hemisferio cerebeloso homolaterales. Obsérvese la marcada desviación de la línea media y la quistificación central del tumor.

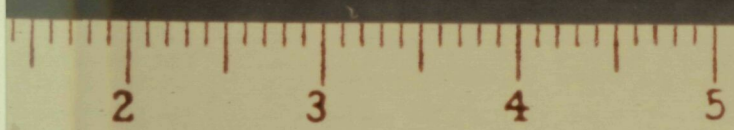
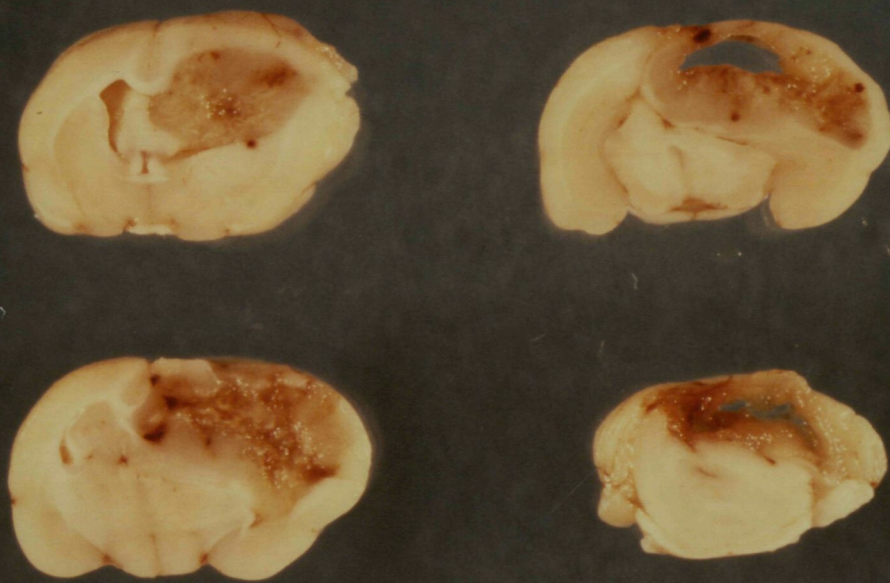
Fig.27:

Dos nódulos tumorales bilaterales muy hemorrágicos, localizados en la región del cuerpo calloso. El menor no alcanza los 2 mm de diámetro.

Fig.28:

Pequeño tumor cerebral en la línea media, región de los núcleos basales, observado casualmente en la autópsia.

26



R-449/83

27



R-466/83

28



R-343 / 83